



# Sangiovese (clone CCL 2000/1)

Scalabrelli G., D'Onofrio C., Ferroni G., 2015. Sangiovese (clone CCL 2000/1). In: Italian Vitis Database, www.vitisdb.it, ISSN 2282-006X

release 29/06/2015, ultimo aggiorn. 26/07/2015 url <http://vitisdb.it/accessions/show/116>

## Informazioni gestite da

Dipartimento di Scienze Agrarie, Alimentari e Agro-ambientali (DiSAAA-a) - Università di Pisa

## Ringraziamenti

Fondazione AGER (AGER Foundation)

## Informazioni generali

**nome** Sangiovese (clone CCL 2000/1)  
**nazione di selezione** Italia  
**provincia di selezione** Siena  
**istituzione custode** Dipartimento di Scienze Agrarie, Alimentari e Agro-ambientali (DiSAAA-a) - Università di Pisa  
**collezione** Tos.Co.Vit.

**codice** ITA419-71  
**regione di selezione** Toscana  
**località di selezione** Chianti

## Varietà & clone

**tipo di origine** spontanea  
**specie** Vitis vinifera  
**varietà** Sangiovese  
**clone** I - CCL 2000/1  
**trueness to type** accertato con rilievi morfologici e microsatelliti

**genere** Vitis  
**sub specie** sativa  
**codice della varietà** IVD-var\_1

## Trueness to type

### True-name

confermato **si**

### ►bibliografia correlata (1)

autori	anno	titolo	rivista	citazione
Breviglieri N., Casini E.	1965	Il Sangiovese	Ministero dell'Agricoltura e delle Foreste - Principali vitigni da vino coltivati in Italia - Volume IV	

### Trueness to type accertato con rilievi morfologici (ampelografici)

accertamento con rilievi morfologici (ampelografici) **accertato**

### ►bibliografia correlata (1)

autori	anno	titolo	rivista	citazione
Breviglieri N., Casini E.	1965	Il Sangiovese	Ministero dell'Agricoltura e delle Foreste - Principali vitigni da vino coltivati in Italia - Volume IV	

### Trueness to type accertato con microsatelliti

accertamento con microsatelliti **accertato**

### ►bibliografia correlata (1)

autori	anno	titolo	rivista	citazione
Di Vecchi-Staraz M., Bandinelli R., Boselli M., Patrice T., Boursiquot J.M., Laucou V., Lacombe T.	2007	Genetic Structuring and Parentage Analysis for Evolutionary Studies in Grapevine: Kin Group and Origin of the Cultivar Sangiovese Revealed	Journal of the American Society for Horticultural Science	132(4): 514-524

loci confrontati **13**

loci identici **13**

discrepanze **no**

## Profilo microsatellite standardizzato

loci:	loci predefiniti ( 9 )																	
locus SSR:	VVS2		VVMD5		VVMD7		VVMD27		VrZAG62		VrZAG79		VVMD25		VVMD28		VVMD32	
allele:	A1	A2	A1	A2	A1	A2	A1	A2	A1	A2	A1	A2	A1	A2	A1	A2	A1	A2
dimensione:	133	133	225	235	239	263	179	185	194	196	243	259	242	242	237	247	253	257

Vi sono altri loci consultabili online

## Immagini



germoglio



germoglio pagina superiore



germoglio pagina inferiore



gemma



foglia



foglia pagina superiore



foglia pagina inferiore



seno peziolare



grappolo





acino



vinacciolo

## Ampelografia

OIV	descrizione	valore		immagini
001	Giovane germoglio: apertura dell'apice	5	completamente aperto	
003	Giovane germoglio: intensità della pigmentazione antocianica dei peli striscianti dell'apice	1	nulla o molto bassa	
004	Giovane germoglio: densità dei peli striscianti dell'apice	5	media	
006	Germoglio: portamento (prima della legatura)	3	semi-eretto	
007	Germoglio: colore del lato dorsale degli internodi	1	verde	
008	Germoglio: colore del lato ventrale degli internodi	1	verde	
016	Germoglio: numero di viticci consecutivi	1	2 o meno	
051	Foglia giovane: colore della pagina superiore del lembo (4 a foglia)	1 / 2	verde / giallo	
053	Foglia giovane: densità peli striscianti tra le nervature principali della pagina inferiore (4a foglia)	5 (Ø 3)	media	
067	Foglia adulta: forma del lembo	2 / 3	cuneiforme / pentagonale	

068	Foglia adulta: numero dei lobi	3	cinque	
070	Foglia adulta: distribuzione pigmentazione antocianica nervature principali pagina superiore	1	assente	
072	Foglia adulta: depressioni del lembo	1	assenti o molto deboli	
074	Foglia adulta: profilo del lembo in sezione trasversale	1	piano	
075	Foglia adulta: bollosità della pagina superiore del lembo	1 / 3	nulla o molto bassa / bassa	
076	Foglia adulta: forma dei denti	2 / 4	entrambi i lati rettilinei / un lato concavo, un lato convesso	
079	Foglia adulta: grado di apertura / sovrapposizione dei bordi del seno peziolare	3	aperto	
080	Foglia adulta: forma della base del seno peziolare	1	a U	
081-1	Foglia adulta: denti del seno peziolare	1	assenti	
081-2	Foglia adulta: base del seno peziolare delimitata dalla nervatura	1	non delimitata	
083-2	Foglia adulta: denti nei seni laterali superiori	1	assenti	
084	Foglia adulta: densità dei peli striscianti tra le nervature principali sulla pagina inferiore del lembo	3	bassa	
087	Foglia adulta: densità dei peli eretti sulle nervature principali della pagina inferiore del lembo	3	bassa	
094	Foglia adulta: profondità dei seni laterali superiori	1	assente o molto poco profondo	
155	Tralcio: fertilità delle gemme basali (gemme 1-3)	9	molto alta (>1,9)	
202	Grappolo: lunghezza (escluso il peduncolo)	5	medio	
204	Grappolo: compattezza	5	medio	
206	Grappolo: lunghezza del peduncolo del grappolo principale	5	medio	
208	Grappolo: forma	2	conico	
209	Grappolo: numero di ali del grappolo principale	2	1 - 2 ali	
220	Acino: lunghezza	5	medio	
221	Acino: larghezza	3 / 5	stretto / medio	
223	Acino: forma	2 / 3	sferoidale / ellissoidale largo	
225	Acino: colore della buccia	6	blu nero	
231	Acino: intensità della pigmentazione antocianica della polpa	1	nulla o molto debole	
235	Acino: consistenza della polpa	2	leggermente soda	
236	Acino: particolarità dell'aroma	1	nessuna	
241	Acino: sviluppo dei vinaccioli	3	completo	

## Ampelometria

## OIV

OIV	PDF	descrizione	valore	
601	PDF	Foglia adulta: lunghezza della nervatura N1	( Ø 6.01 )	
602	PDF	Foglia adulta: lunghezza della nervatura N2	( Ø 7.11 )	
603	PDF	Foglia adulta: lunghezza della nervatura N3	( Ø 4.92 )	
604	PDF	Foglia adulta: lunghezza della nervatura N4	( Ø 3.37 )	
605	PDF	Foglia adulta: distanza dal seno peziolare al seno laterale superiore	( Ø 2.42 )	
606	PDF	Foglia adulta: distanza dal seno peziolare al seno laterale inferiore	( Ø 3.40 )	
607	PDF	Foglia adulta: angolo tra N1 e N2 misurato alla prima biforcazione	( Ø 62.00 )	
608	PDF	Foglia adulta: angolo tra N2 e N3 misurato alla prima biforcazione	( Ø 54.58 )	
609	PDF	Foglia adulta: angolo tra N3 e N4 misurato alla prima biforcazione	( Ø 62.64 )	
610	PDF	Foglia adulta: angolo tra N3 e la tangente tra il punto peziolare e l'estremità N5	( Ø 90.05 )	
611	PDF	Foglia adulta: lunghezza della nervatura N5	( Ø 1.71 )	
612	PDF	Foglia adulta: lunghezza del dente di N2	( Ø 2.21 )	
613	PDF	Foglia adulta: larghezza del dente di N2	( Ø 1.11 )	
614	PDF	Foglia adulta: lunghezza del dente di N4	( Ø 2.14 )	
615	PDF	Foglia adulta: larghezza del dente di N4	( Ø 1.01 )	
616	PDF	Foglia adulta: numero di denti tra il dente all'estremità di N2 e il dente all'estremità della prima nervatura secondaria di N2, inclusi i denti precitati	( Ø 8.00 )	
617	PDF	Foglia adulta: distanza tra l'estremità di N2 e l'estremità della prima nervatura secondaria di N2	( Ø 3.97 )	
618	PDF	Foglia adulta: apertura/sovrapposizione del seno peziolare	( Ø 5.00 )	

## Superampelo

distanze		
descrittore	valore	deviazione standard
Distanza dal seno peziolare al seno inferiore sinistro	64.414	6.350
Distanza dal seno peziolare al seno inferiore destro	65.071	5.965
Nervatura N3', lunghezza dal seno peziolare alla nervatura N4'	12.064	2.252
Nervatura N3, lunghezza dal seno peziolare alla nervatura N4	12.500	1.814
Distanza dal seno peziolare al seno superiore sinistro	69.457	7.925
Distanza dal seno peziolare al seno superiore destro	73.386	9.532
Lunghezza della nervatura N4'	55.300	6.396
Lunghezza della nervatura N4	54.921	5.916
Lunghezza della nervatura N5'	24.479	5.566
Lunghezza della nervatura N5	24.964	2.982
Lunghezza della foglia compreso il picciolo	234.850	16.933
Lunghezza del picciolo	101.771	12.897
Lunghezza della foglia	185.536	9.313
Larghezza della foglia	175.314	9.214
Distanza tra gli estremi delle nervature N3 e N3'	169.900	9.458
Distanza tra gli estremi delle nervature N4 e N4'	88.857	7.325
Lunghezza della nervatura N1	133.107	6.691
Distanza tra gli estremi delle nervature N2 e N2'	164.264	15.411
Lunghezza della nervatura N2'	116.124	7.663
Lunghezza della nervatura N3	84.436	6.859
Larghezza del seno peziolare / Distanza tra i punti SP e SP'	-29.264	3.436
Lunghezza della nervatura N2	115.171	9.007
Lunghezza della nervatura N3'	86.321	7.065

angoli		
descrittore	valore	deviazione standard
Angolo tra N1 e N2' misurato alla prima biforcazione	55.286	3.946
Angolo tra N1 e N2 misurato alla prima biforcazione	52.407	4.191
Angolo tra N2' e N3' misurato alla prima biforcazione	47.993	5.625
Angolo tra N3 e N4 alla prima biforcazione di N3	54.171	3.479
Angolo tra N2 e N3 misurato alla prima biforcazione	42.929	3.097
Angolo tra N1 e N2' misurato agli estremi delle nervature	45.514	5.455
Angolo tra N2 e N3 misurato agli estremi delle nervature	46.386	3.438
Angolo tra N3' e N4'	51.614	4.725
Angolo tra N1 e N2 misurato agli estremi delle nervature	44.886	6.260
Angolo tra N3' e N4' misurato agli estremi delle nervature	42.957	6.035
Angolo di apertura del seno peziolare misurato a SP e SP'	67.671	9.151
Angolo tra N2' e N3' misurato agli estremi delle nervature	49.293	4.136
Angolo tra N3 e N4 misurato agli estremi delle nervature	43.629	3.739
Angolo tra I e I' con centro in N1	52.964	3.360
Angolo tra D e D' con centro in N1	94.836	6.499
Angolo tra S e S' con centro in N1	56.207	7.537

rapporti		
descrittore	valore	deviazione standard
Rapporto tra la distanza dal seno la lunghezza della nervatura N2	0.640	0.092
Rapporto tra la distanza dal seno peziolare la lunghezza della nervatura N2'	0.599	0.066
Rapporto tra Lunghezza e larghezza della foglia	1.059	0.036
Rapporto tra la lunghezza del picciolo OP e la lunghezza della nervatura N1	0.764	0.087
Rapporto tra la lunghezza della nervatura N2 e la lunghezza della nervatura N1	0.867	0.067
Rapporto tra la lunghezza della nervatura N2' e la lunghezza della nervatura N1	0.873	0.049
Rapporto tra la distanza dal seno peziolare al seno inferiore destro OI e la lunghezza della nervatura N3	0.773	0.075
Rapporto tra la distanza dal seno peziolare al seno inferiore sinistro OI' e la lunghezza della nervatura N3'	0.747	0.054
Rapporto tra la lunghezza della nervatura N3 e la lunghezza della nervatura N1	0.635	0.055
Rapporto tra l'altezza e la base del dente all'estremità della nervatura N4	0.917	0.254
Rapporto tra l'altezza e la base del dente all'estremità della nervatura N2'	1.247	0.353
Rapporto tra l'altezza e la base del dente all'estremità della nervatura N4'	0.985	0.281
Rapporto tra la somma degli angoli a + b e la somma della distanza tra il seno peziolare e il seno superiore destro OS e il seno peziolare e il seno inferiore destro OI	95.343	5.773
Rapporto tra la lunghezza della nervatura N5' e la lunghezza della nervatura N1	0.184	0.042
Rapporto tra l'altezza e la base del dente all'estremità della nervatura N2	1.145	0.402
Rapporto tra la somma degli angoli a' + b' e la somma della distanza tra il seno peziolare e il seno superiore sinistro OS' e il seno peziolare e il seno inferiore sinistro OI'	103.286	7.130
Rapporto tra la lunghezza della nervatura N4 e la lunghezza della nervatura N1	0.413	0.045
Rapporto tra la lunghezza della nervatura N3' e la lunghezza della nervatura N1	0.649	0.047
Rapporto tra la lunghezza della nervatura N5 e la lunghezza della nervatura N1	0.188	0.021
Rapporto tra la lunghezza della nervatura N4' e la lunghezza della nervatura N1	0.416	0.045
Prodotto di Lunghezza e larghezza della foglia	32587.393	3269.947

### Fenologia & produzione

OIV	descrizione	valore	
301	Epoca di germogliamento	3 / 5	precoce / media
303	Epoca d'inizio dell'invaiaatura	5	medio
351	Vigoria del germoglio	4	medio-bassa (60-70 g)
502	Grappolo: peso di un grappolo	3	basso (250-350 g)
503	Acino: peso di un acino	2	tra molto basso e basso (1,5-2,5 g)
504	Peso dell'uva prodotta per m <sup>2</sup>	3	basso (1,0-1,2 kg)
505	Tenore in zucchero del mosto	8 / 8	tra elevato e molto elevato (21,8-23,2) / tra elevato e molto elevato (21,8-23,2)
506	Acidità totale del mosto	4	medio-bassa (6,8-8,2)
508	pH del mosto	6	medio-elevato (3,3-3,4)

**Vegeto-produttivo**

sesto di impianto e forma di allevamento	valore	deviazione standard	numero di anni
Forma di allevamento	controsplliera		
Sistema di potatura	cordone speronato orizzontale		
Distanza sulla fila (m)	0.800		
Distanza tra le file (m)	2.500		

vigore	valore	deviazione standard	numero di anni
Numero germogli/tralci per metro di filare (numero/m)	9.380		3
Numero germogli/tralci per pianta (numero/pianta)	7.500		3
Peso legno di potatura per metro di filare (kg)	0.620		3
Peso legno di potatura per pianta (kg)	496.000		3
Peso medio tralcio (g)	66.130		3

fertilità	valore	deviazione standard	numero di anni
Fertilità basale (grappoli/gemma)	1.200		3
Numero infiorescenze per germoglio alla fioritura (numero/germoglio)	1.200		3

quantità produzione	valore	deviazione standard	numero di anni
Diametro acino (media di 25 acini) - larghezza (mm)	13.700		3
Diametro acino (media di 25 acini) - lunghezza (mm)	15.400		3
Numero grappoli per metro lineare (numero/m)	11.250		3
Numero grappoli per pianta (numero/pianta)	9.000		3
Peso di 100 acini (g)	188.000		3
Peso medio grappolo (g)	250.700		3
Produzione per ettaro (t/ha)	9.025		3
Produzione per metro di filare (kg/m)	2.820		3
Produzione per pianta (kg/ceppo)	2.256		3

qualità produzione	valore	deviazione standard	numero di anni
Antociani nella polpa? (si/no)	<input type="checkbox"/> no	non disponibile	non disponibile
Antociani totali bucce (g/kg)	0.442		3
Flavonoidi totali bucce (g/kg)			
Flavonoidi totali vinaccioli (g/kg)			
pH (pH)	3.390		3
Polifenoli totali (g/kg)	2.806		3
Polifenoli totali bucce (g/kg)	1.694		3
Polifenoli totali vinaccioli (g/kg)	1.112		3
Tenore in zucchero del mosto (°Brix)	23.200		3
Acidità titolabile del mosto (g/l)	7.180		3

**Polifenoli uve**

acidi idrossicinnamiltartarici	buccia (mg/kg) (dev.st)	vinacciolo (mg/kg) (dev.st)	polpa (mg/kg) (dev.st)
ac. trans caffeil tartarico	11.60		
ac. trans p-cumariol tartarico	8.40		
ac. cis p-cumariol tartarico	3.90		
ac. trans feruril tartarico	1.30		

antociani monoglucosidi	buccia (mg/kg) (dev.st)	vinacciolo (mg/kg) (dev.st)	polpa (mg/kg) (dev.st)
cianidina-3-monoglucoside	76.50		
peonidina-3-monoglucoside	90.20		
delfinidina-3-monoglucoside	42.50		
petunidina-3-monoglucoside	54.30		
malvidina-3-monoglucoside	200.10		

antociani acilati	buccia (mg/kg) (dev.st)	vinacciolo (mg/kg) (dev.st)	polpa (mg/kg) (dev.st)
cianidina monoglucoside acetato	0.00		
peonidina monoglucoside acetato	0.00		
delfinidina monoglucoside acetato	0.00		
petunidina monoglucoside acetato	0.00		
malvidina monoglucoside acetato	0.00		
cianidina monoglucoside p-cumarato	1.28		
peonidina monoglucoside p-cumarato	1.82		
delfinidina monoglucoside p-cumarato	0.00		
petunidina monoglucoside p-cumarato	0.00		
malvidina monoglucoside p-cumarato	4.50		
malvidina monoglucoside caffeato	4.07		

flavonoli	buccia (mg/kg) (dev.st)	vinacciolo (mg/kg) (dev.st)	polpa (mg/kg) (dev.st)
campferolo monoglucoside	4.50		
quercetina monoglucoside	34.30		
miricetina monoglucoside	11.10		

### Aromi uve

monoterpeni	liberi (mg/kg) (dev.st)	idrolisi enzimatica (mg/kg) (dev.st)	idrolisi acida (mg/kg) (dev.st)
trans-furanlinalossido (ossido A)		0.0273	0.2149
cis-furanlinalossido (ossido B)		0.0198	0.1991
linalolo		0.0174	0.1316
a-terpineolo		0.0586	0.5106
trans-piranlinalossido (ossido C)		0.2356	0.3371
cis-piranlinalossido (ossido D)		0.0244	0.6754
2,6-dimetil-7-octen-2,6-diolo (endiolo)		0.1370	0.6717
terpina 1		0.0353	0.0000
terpina 2		0.1468	0.9389
citronellolo		0.0300	
nerolo		0.0462	
geraniolo		0.1220	
2-idrossi-1,8-cinelo		0.0000	
2,6-dimetil-3,7-octadien-2,6-diolo (diolo 1)		0.0462	
2,6-dimetil-1,7-octadien-3,6-diolo (diolo 2)		0.1235	
idrossi-citronellolo		0.0153	
idrossi-nerolo		0.0375	
trans-8-idrossi-linalolo		0.0235	
cis-8-idrossi-linalolo		0.0141	
idrossi-geraniolo		0.0229	
acido geranico		0.0499	
ocimenolo 2			0.0600
p-menten-1-ene-9-ale			0.1045

norisoprenoidi	liberi (mg/kg) (dev.st)	idrolisi enzimatica (mg/kg) (dev.st)	idrolisi acida (mg/kg) (dev.st)
vitispirani		0.0000	
5,6-epossi-b-ionone		0.1090	
3-oxo-a-ionolo		0.0864	
3,9-diidrossimegastigma-5-ene		0.0111	
3-idrossi-b-ionone		0.0210	
3,4-diidro-3-oxo-actinidolo I		0.3535	
vomifoliolo		0.0000	
3,4-diidro-3-oxo-actinidolo II		0.0494	
3,4-diidro-3-oxo-actinidolo III		0.0000	
3-idrossi-7,8-diidro-β-ionolo		0.0011	
4-oxo-7,8-diidro-β-ionolo		0.0000	
3-idrossi-b-damascone			1.3363
riesling acetale			0.5171
1,1,6-trimetil-1,2-diidronaftalene (TDN)			0.9548
actinidolo 1			0.6294
actinidolo 2			0.1010
idrossi-1,1,6-trimetil-1,2-diidronaftalene (idrossi-TDN)			0.3279

derivati benzene	liberi (mg/kg) (dev.st)	idrolisi enzimatica (mg/kg) (dev.st)	idrolisi acida (mg/kg) (dev.st)
benzaldeide		0.0373	
metilbenzoato		0.0219	
metilsalicilato		0.0000	
alcool benzilico		0.4388	
4-vinil-guaiacono		0.1098	
metilvanillato		0.0191	
acetovanillone		0.0243	
4-vinil-fenolo		0.0176	
p-idrossi-benzaldeide		0.0000	
vanillina		0.3879	
2-feniletanolo		0.0886	

alcoli alifatici	liberi (mg/kg) (dev.st)	idrolisi enzimatica (mg/kg) (dev.st)	idrolisi acida (mg/kg) (dev.st)
1-esanolo		0.0241	
cis-3-esenolo		0.0697	
trans-3-esenolo		0.0189	
1-octen-3-olo		0.0124	
1-ottanolo		0.0189	

### Altri descr.

nessun "altro" descrittore disponibile per Sangiovese (clone CCL 2000/1)

### Bibliografia correlata (1)

autori	anno	titolo	rivista	citazione
D'Onofrio C., Scalabrelli G.,	2010	Sangiovese di sistema del Database Viticolo Italiano (Sangiovese of reference for DNA molecular markers of Italian Vitis Database)	IVD	2010

### Accessioni della medesima varietà (3)

- Nielluccio - Dipartimento di Scienze Agrarie, Alimentari e Agro-ambientali (DiSAAA-a) - Università di Pisa
- Sangiovese (clone CCL 2000/1) - Dipartimento di Scienze Agrarie, Alimentari e Agro-ambientali (DiSAAA-a) - Università di Pisa
- Sangiovese (clone VCR 6) - Dipartimento di Scienze Agrarie, Alimentari e Agro-ambientali (DiSAAA-a) - Università di Pisa